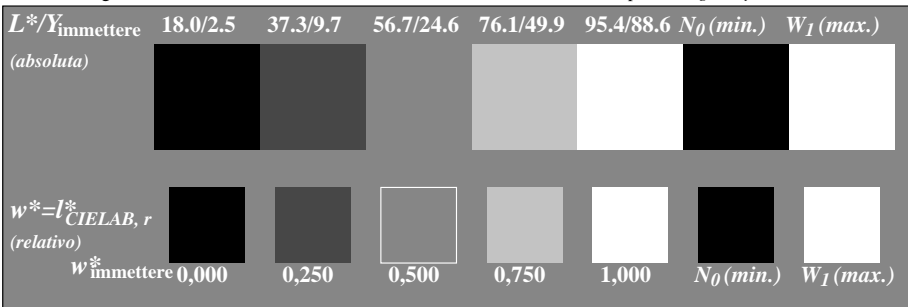
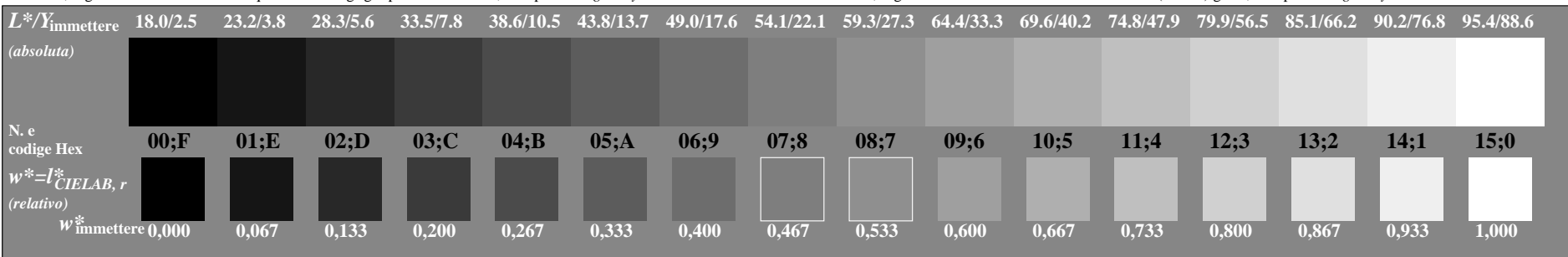


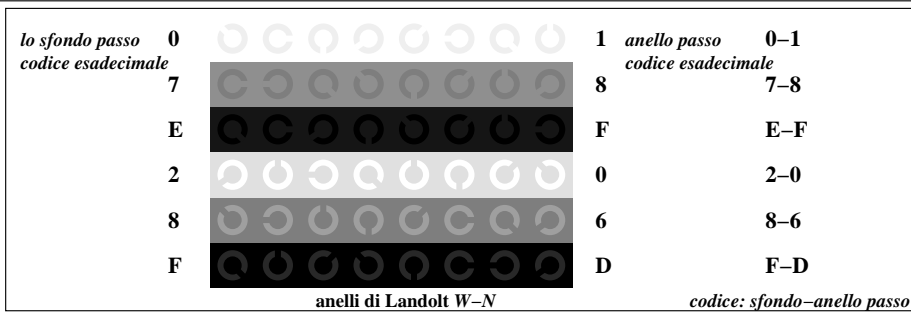
TI700-3, Fig. C1Wd: Elemento A: reticoli radiali N-W, W-N, N-Z i W-Z; PS operator: *rgb/cmy0*



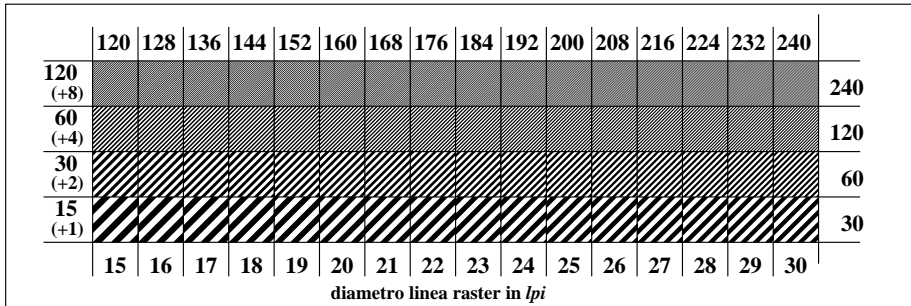
TI700-5, Fig. C2Wd: Elemento B: 5 equidistante  $L^*$  grigio passi +  $N_0$  +  $W_I$ ; PS operator: *rgb/cmy0*



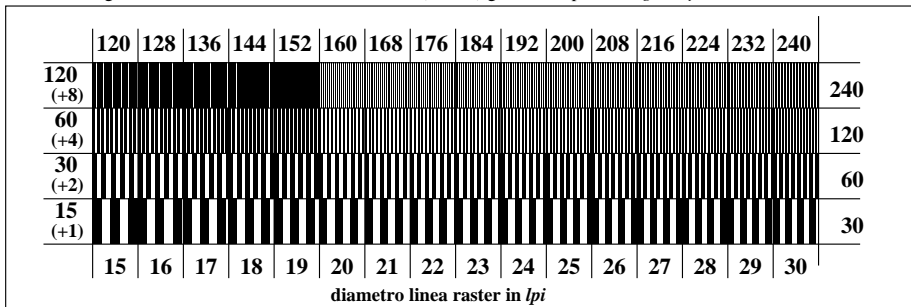
TI700-7, Fig. C3Wd: Elemento C: 16 equidistante  $L^*$  grigio passi; PS operator: *rgb/cmy0*



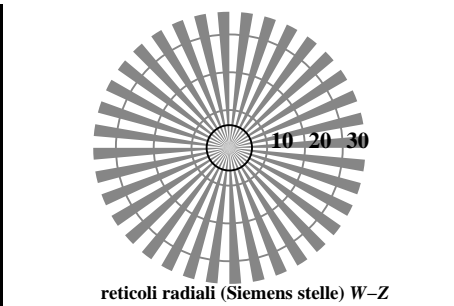
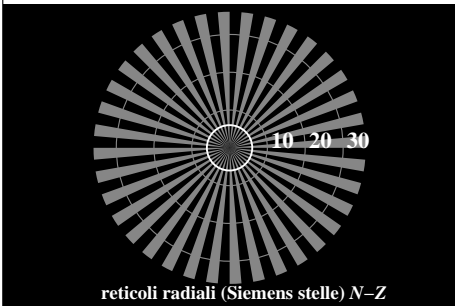
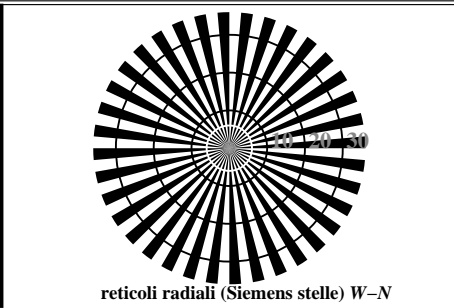
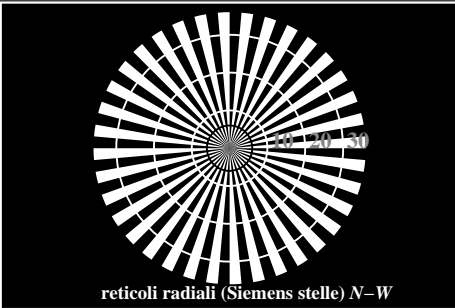
TI701-1, Fig. C4Wd: Elemento D: anelli di Landolt W-N; PS operator: *rgb/cmy0*



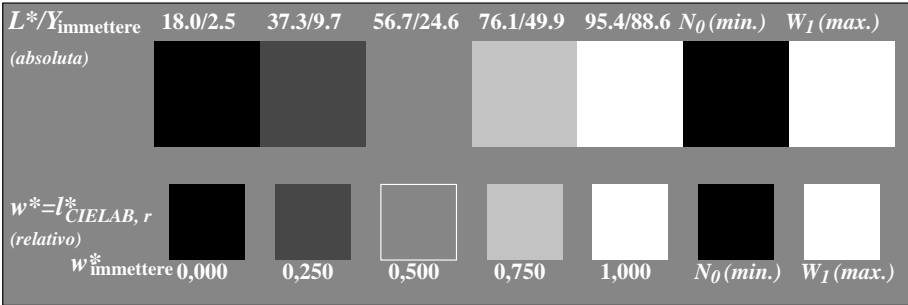
TI701-3, Fig. C5Wd: Elemento E: Linea raster a 45° (o 135°) gradi; PS operator: *rgb/cmy0*



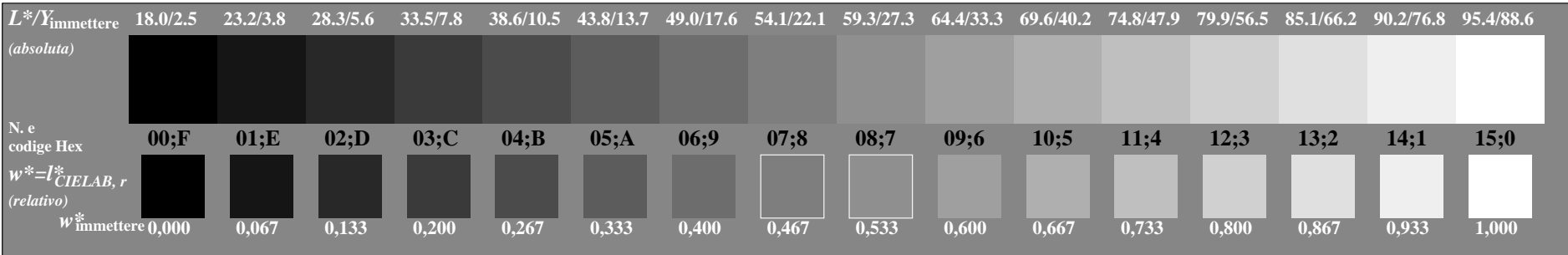
TI701-5, Fig. C6Wd: Elemento F: Linea raster a 90° (o 180°) gradi; PS operator: *rgb/cmy0*



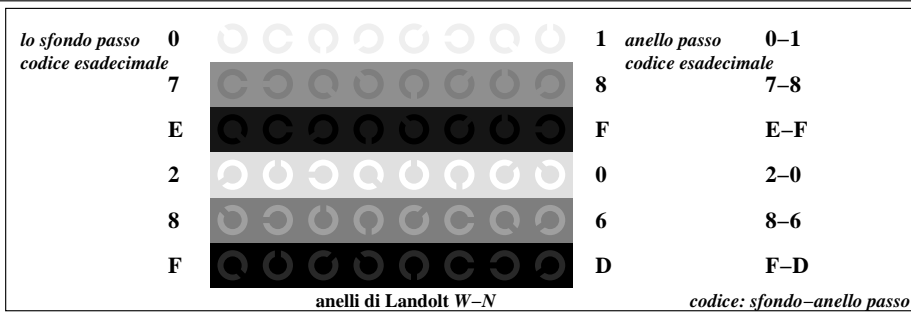
TI700-3, Fig. C1We: Elemento A: reticoli radiali N-W, W-N, N-Z i W-Z; PS operator: *rgb/cmy0*



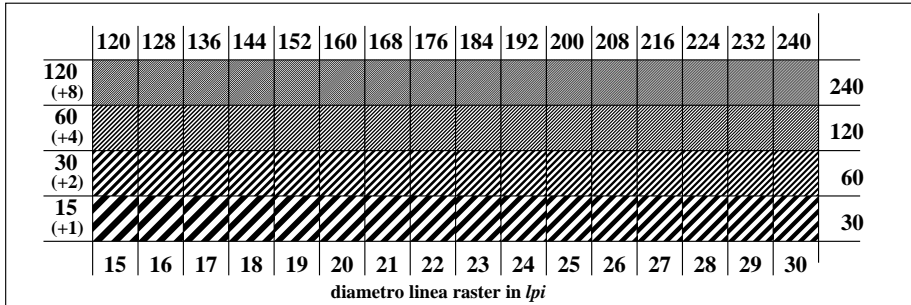
TI700-5, Fig. C2We: Elemento B: 5 equidistante  $L^*$  grigio passi +  $N_0$  +  $W_I$ ; PS operator: *rgb/cmy0*



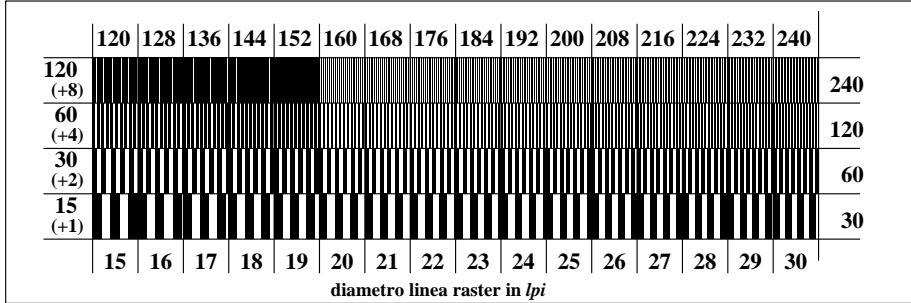
TI700-7, Fig. C3We: Elemento C: 16 equidistante  $L^*$  grigio passi; PS operator: *rgb/cmy0*



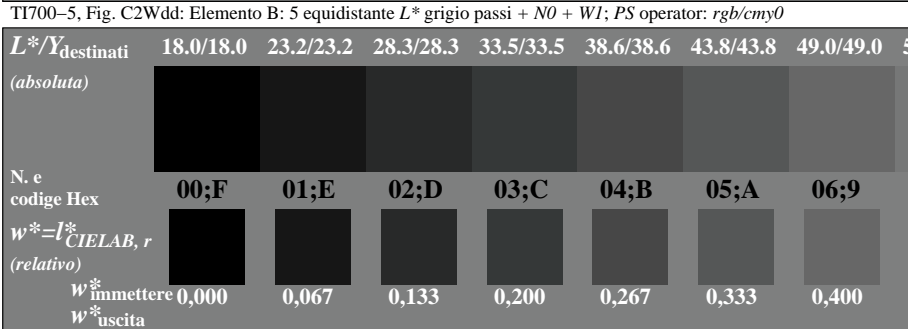
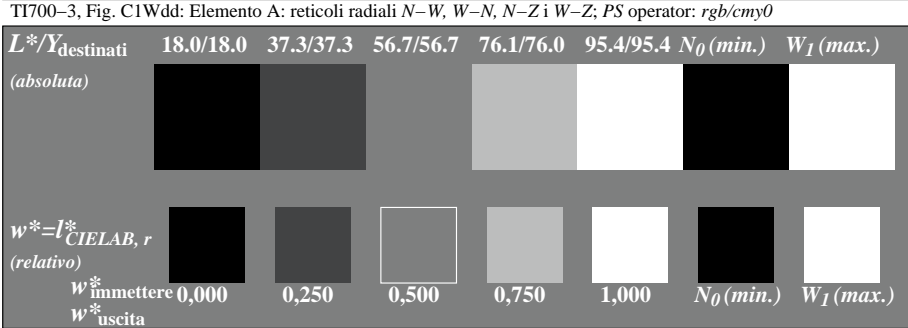
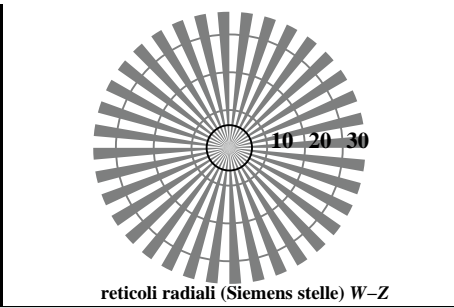
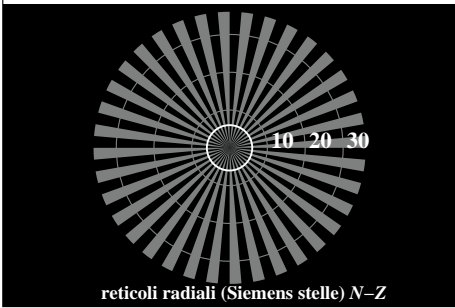
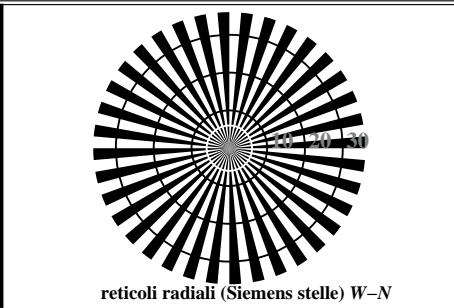
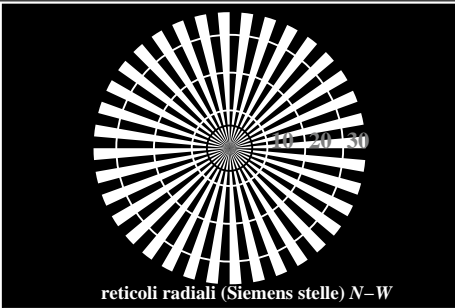
TI701-1, Fig. C4We: Elemento D: anelli di Landolt W-N; PS operator: *rgb/cmy0*



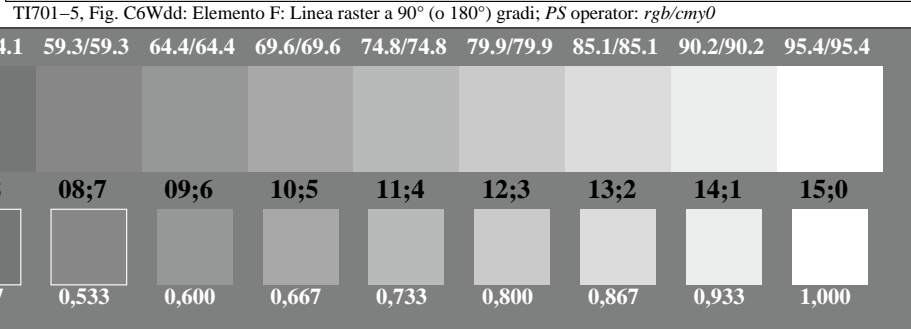
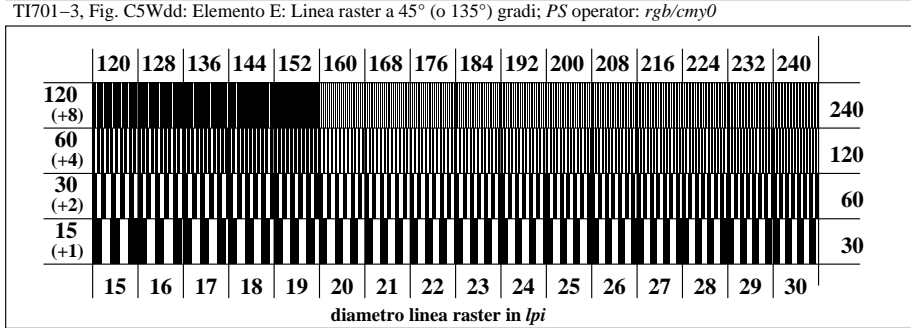
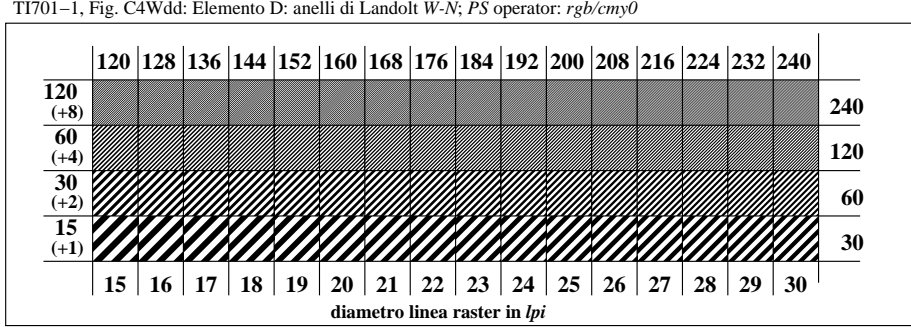
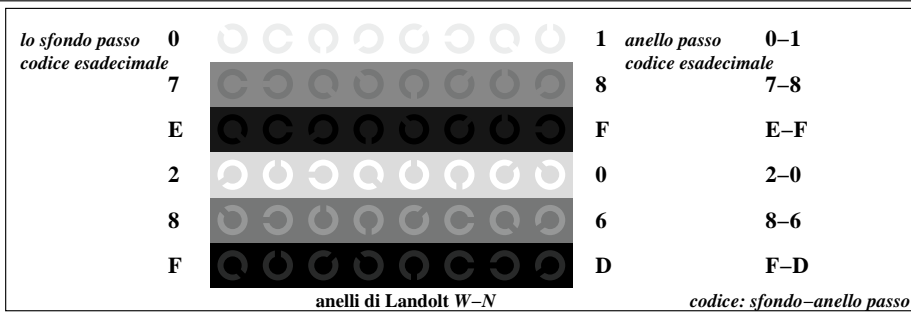
TI701-3, Fig. C5We: Elemento E: Linea raster a 45° (o 135°) gradi; PS operator: *rgb/cmy0*



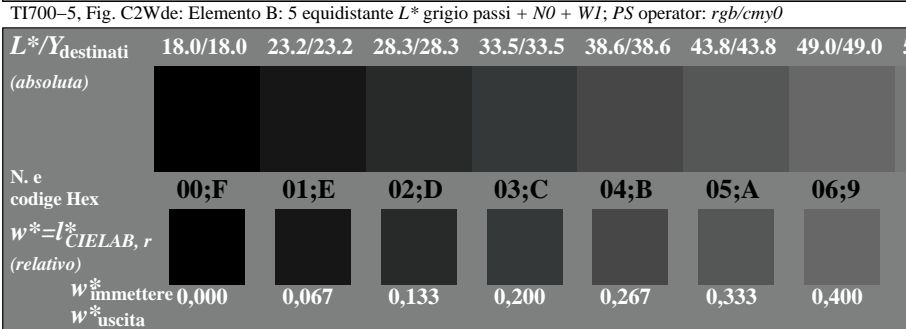
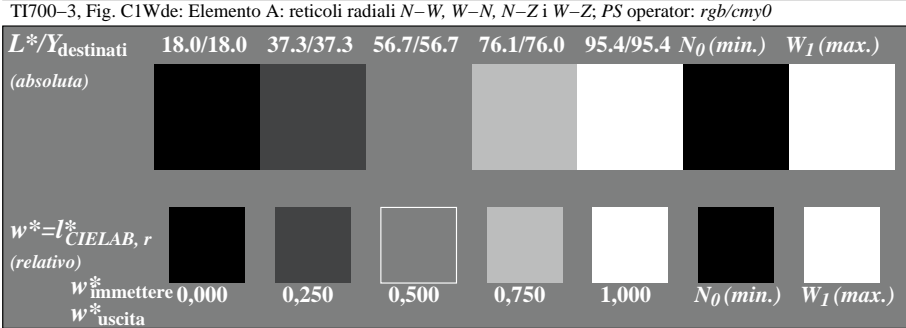
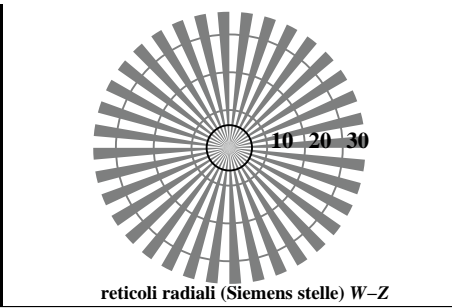
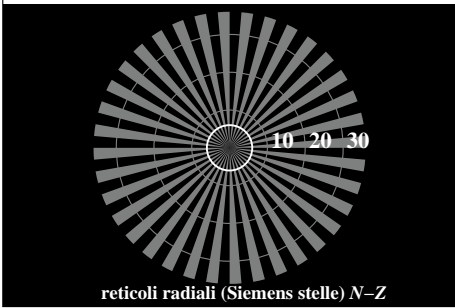
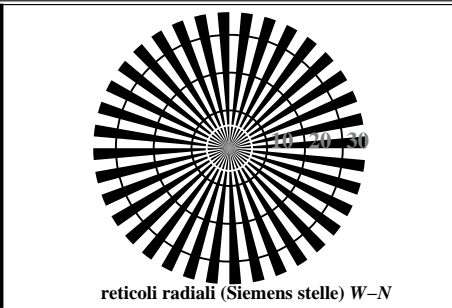
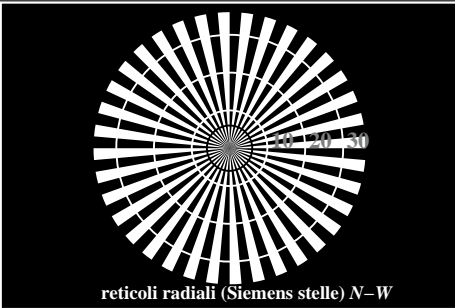
TI701-5, Fig. C6We: Elemento F: Linea raster a 90° (o 180°) gradi; PS operator: *rgb/cmy0*



TI700-7, Fig. C3Wdd: Elemento C: 16 equidistante  $L^*$  grigio passi; PS operator: *rgb/cmy0*



TI701-7, Fig. C7Wdd: Elemento G: 16 equidistante  $L^*$  grigio passi; PS operator: *rgb/cmy0*



TI700-7, Fig. C3Wde: Elemento C: 16 equidistante  $L^*$  grigio passi; PS operator: *rgb/cmy0*

